

Наблюдательные аспекты моделей расширенной гравитации

(по материалам кандидатской диссертации)

Ранну К.А.

*Научный руководитель
Алексеев С.О.*

ГАИШ МГУ

01.04.2014

Содержание

- 1 Модель Гаусса-Бонне
 - Внутренняя структура черной дыры Максвелла-Гаусса-Бонне
 - Параметризованный постньютоновский формализм
 - Пост-ньютоновская параметризация решения Гаусса-Бонне
- 2 Модель Рандалл-Сандрума. Постньютоновская параметризация
 - Решение Фигураса-Вайсмана
 - Решение Абдолрахими-Пейджа
- 3 Кротовые норы в теории Бранса-Дикке
- 4 Положения, выносимые на защиту
- 5 Список публикаций
- 6 Список апробаций

Модель Гаусса-Бонне

$$S = \frac{1}{16\pi} \int d^4x \sqrt{-g} (-R + 2\partial_\mu\phi \partial^\mu\phi - e^{-2\phi} F_{\mu\nu} F^{\mu\nu} + \lambda e^{-2\phi} S_{GB}),$$

$$ds^2 = \Delta dt^2 - \frac{1}{\Delta} dr^2 - f^2(d\theta^2 + \sin^2\theta d\varphi^2)$$

$$\phi = \phi_0 + \frac{D}{r} + \dots$$

$$F = q \sin\theta d\theta \wedge d\varphi$$

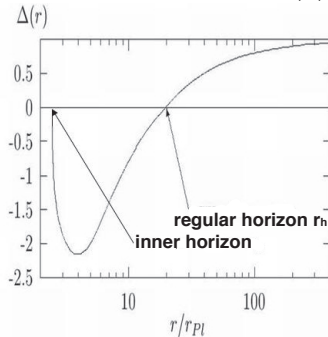
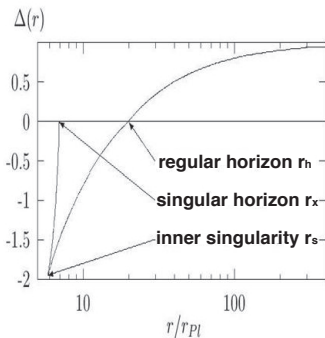
1991 Garfinkle, Horowitz, Strominger, Phys. Rev. D **43**, 3140

1997 Alexeyev, Pomazanov, Phys. Rev. D **55**, 2110

2009 Alexeyev, Barrau, Rannu, Phys. Rev. D **79**, 067503

Метрическая функция $\Delta(r)$ и критический заряд

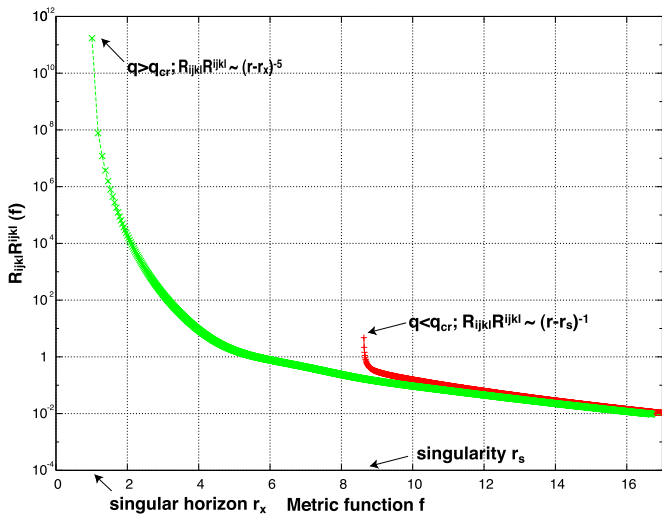
Критический заряд — значение магнитного заряда, при котором внутренняя сингулярность исчезает, ее заменяет локальный минимум функции $\Delta(r)$



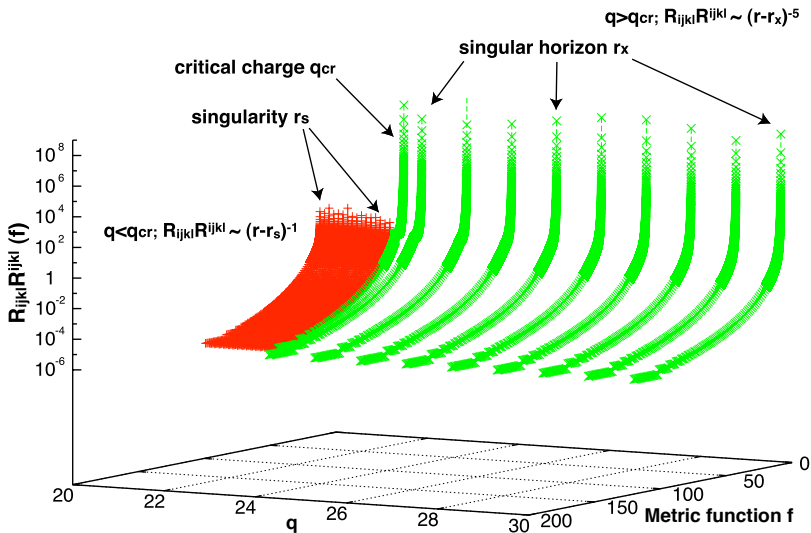
1997 Alexeyev, Pomazanov, Phys. Rev. D **55**, 2110

2001 Alexeev, Sazhin, Pomazanov, Int. J. Mod. Phys. D **10** 225

Инвариант кривизны $R_{ijkl}R^{ijkl}(f)$



Инвариант кривизны $R_{ijkl}R^{ijkl}(q, f)$



Выводы к главе 2

В найденном ранее решении Максвелла-Гаусса-Бонне исследовано поведение инварианта кривизны вблизи внутренней сингулярности, возникающей при большом магнитном заряде ($q > q_{cr} = 33.4$ для $M = 100$).

Показано, что вблизи сингулярного горизонта r_x инвариант кривизны расходится быстрее ($(r - r_x)^{-5}$), чем вблизи сингулярности r_s ($(r - r_s)^{-1}$),

поэтому сингулярность в точке r_x намного сильнее, чем в r_s :

$$\text{при } f \rightarrow f_s \quad \mathbf{R}_{ijkl}\mathbf{R}^{ijkl} \sim \text{const}_1 \times (f - f_s)^{-1}$$

$$\text{при } f \rightarrow f_x \quad \mathbf{R}_{ijkl}\mathbf{R}^{ijkl} \sim \text{const}_2 \times (f - f_x)^{-5}$$

Параметризованный постньютоновский формализм

Постньютоновский предел:

- приближение слабого поля;
- асимптотически-плоское пространство;
- материя — идеальная жидкость.

$$g_{\mu\nu} = \eta_{\mu\nu} + h_{\mu\nu}$$

$\eta_{\mu\nu}$ — метрика Минковского,

$$h_{00}(1/r) \sim O(1) + O(2)$$

$$h_{0j}(1/r) \sim O(3)$$

$$h_{ij}(1/r) \sim O(1)$$

1981 Уилл «Теория и эксперимент в гравитационной физике»

Экспериментальные значения параметров Эддингтона

ППН-параметр	Физический смысл	Экспериментальное значение	Эффекты
γ	кривизна пространства, создаваемая единицей массы покоя	$1 + 2.3 \times 10^{-5}$	задержка, отклонение света
β	степень нелинейности закона суперпозиции для гравитации	$1 + 1.1 \times 10^{-4}$	эффект Нордтведта, смещение перигелия

Постньютоновское разложение метрики Гаусса-Бонне

ППН:

$$h_{00} \sim \frac{1}{r^2}$$

Гаусс-Бонне:

$$h_{00}^{\text{GB}} = 8 \frac{DM}{r^4}$$

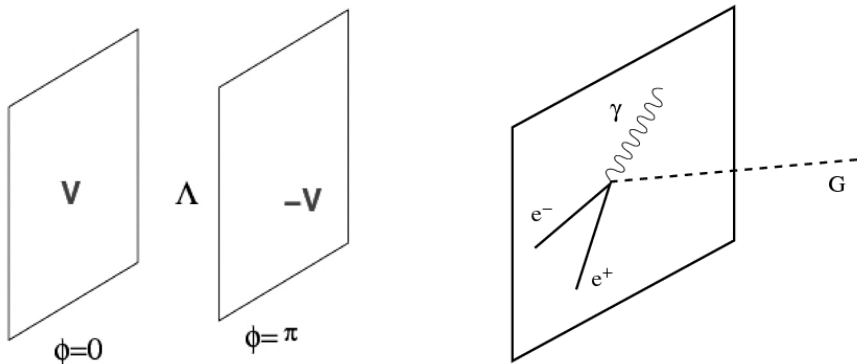
Низко-энергетический эффективный предел струнного действия

Установлено, что вклад квадратичной поправки по кривизне соответствует третьему постньютоновскому порядку, поэтому ее присутствие не может быть зарегистрировано в рамках экспериментов по измерению постньютоновских параметров в Солнечной системе.

Модель Гаусса-Бонне является частным случаем гравитации Лавлока, однако вклад в параметризацию метрики поправок более высокого порядка, начиная с третьего, будет еще слабее, чем вклад квадратичной поправки.

Выводы для гравитации Лавлока справедливы и для других моделей $f(R)$, включающих ряд поправок по кривизне и удовлетворяющих требованиям ППН-формализма.

Модель Рэндалл-Сандрума



1999 Randall, Sundrum,
Phys. Rev. Lett. **83**, 3370

Phys. Rev. Lett. **83**, 4690

Решение Фигураса-Вайсмана

$$G_{\mu\nu} = 8\pi G_4 T_{\mu\nu}^{brane} + \\ + \epsilon^2 \{ 16\pi G_4 \langle T_{\mu\nu}^{CFT}[g] \rangle + a_{\mu\nu}[g] + \log \epsilon b_{\mu\nu}[g] \} + \\ + O(\epsilon^4 \log \epsilon),$$

$$a_{\mu\nu}[g] = -\frac{1}{4} \nabla^2 R_{\mu\nu} + \frac{1}{12} \nabla_\mu \nabla_\nu R + \frac{1}{24} \nabla^2 R g_{\mu\nu} + \frac{1}{6} R R_{\mu\nu} + \\ + \frac{1}{8} R_{\alpha\beta} R^{\alpha\beta} g_{\mu\nu} - \frac{1}{24} R_{\mu\nu}^2 - \frac{1}{2} R_{\mu\alpha\nu\beta} R^{\alpha\beta},$$

$$b_{\mu\nu}[g] = -\frac{1}{2} \nabla^2 R_{\mu\nu} + \frac{1}{6} \nabla_\mu \nabla_\nu R + \frac{1}{12} \nabla^2 R g_{\mu\nu} + \frac{1}{3} R R_{\mu\nu} + \\ + \frac{1}{4} R_{\alpha\beta} R^{\alpha\beta} g_{\mu\nu} - \frac{1}{12} R_{\mu\nu}^2 - R_{\mu\alpha\nu\beta} R^{\alpha\beta},$$

2011 Figueras, Wiseman, Phys. Rev. Lett. **107** 081101

Постньютоновская параметризация решения Фигураса-Вайсмана

$$h_{00}^{\text{FW}} = \frac{\epsilon^2}{l^2} \frac{121}{27} \frac{M^4}{r^2}$$

$$\beta = 1 - \frac{\epsilon^2}{l^2} \frac{121}{108} M^2$$

Решение Абдолрахими-Пейджа

$$ds^2 = - \left(1 - \frac{2M}{r} \right) dt^2 + \left[r^2 + \frac{F}{-\Lambda_5} \right] d\Omega^2 + \\ + \left[1 - \frac{1}{-\Lambda_5 r^2} \frac{r - 2M}{r - 1.5M} \left(F - r \frac{dF}{dr} \right) \right] \left(1 - \frac{2M}{r} \right)^{-1} dr^2,$$

$$F = 1 - 1.1241 \left(\frac{2M}{r} \right) + 1.956 \left(\frac{2M}{r} \right)^2 + \dots + 2.900 \left(\frac{2M}{r} \right)^{11}$$

2012 Abdolrahimi, Cattoen, Page, Yaghoobpour-Tari, JCAP **06**, 039

Постньютоновская параметризация решения Абдолрахими-Пейджа

$$g_{\mu\nu} = g_{\mu\nu}^{Sch} \quad \text{до} \quad \frac{1}{r^2},$$

$$\pi_{\mu\nu} \sim T_{\mu\nu}^2 \sim \frac{1}{r^6}, \quad E_{\mu\nu} = 0 \text{ for AdS}_5$$

2000 Maartens, Phys. Rev. **D62** 084023



$$h_{00}^{AP} = \frac{l^2 M^2}{96r^4}$$

Выводы к главе 3

- На основании исследования постньютоновского разложения решения Фигураса-Вайсмана для модели Рандалл-Сандрума II сделан вывод о возможности отрицательной нелинейности суперпозиции для гравитации, однако этот эффект достаточно мал (меньше, чем точность измерения параметра β).
- На основании исследования постньютоновского разложения решения Абдолрахими-Пейджа показано полное согласие с ОТО в требуемом порядке.

Модель Рандалл-Сандрума хорошо согласуется с ОТО и результатами наблюдений в солнечной системе.

Модель Бранса-Дикке

- одна из первых расширенных теорий гравитации с безмассовым скалярным полем;
- в теорию естественным образом входит скалярное поле, которое требуется для теории ранней Вселенной (инфляция) и может обеспечить ее ускоренное расширение, наблюдаемое сегодня (роль космологической постоянной);
- нулевое приближение возможных моделей квантовой гравитации.

$$S = \frac{1}{16\pi} \int d^4x \sqrt{-g} \left(-\phi R + \frac{\omega}{\phi} g^{\mu\nu} \phi_{,\mu} \phi_{,\nu} + L_{matter} \right)$$

R — скалярная кривизна

ϕ — безмассовое скалярное поле

ω — параметр Бранса-Дикке

Метрика для кротовой норы в теории Бранса-Дикке

$$ds^2 = - e^{\alpha_0} \left(\frac{1 - \frac{B}{\rho}}{1 + \frac{B}{\rho}} \right)^{\frac{2}{\lambda}} dt^2 + e^{\beta_0} \left(1 + \frac{B}{\rho} \right)^4 \left(\frac{1 - \frac{B}{\rho}}{1 + \frac{B}{\rho}} \right)^{\frac{\lambda - C - 1}{\lambda}} (d\rho^2 + \rho^2 d\Omega^2)$$
$$\phi = \phi_0 \left(\frac{1 - B/\rho}{1 + B/r} \right)^{C/\lambda}, \quad \lambda = \sqrt{\frac{2\omega + 3}{2\omega + 4}}, \quad B = \frac{M}{2\phi_0} \sqrt{\frac{2\omega + 4}{2\omega + 3}}, \quad C = -\frac{1}{\omega + 2}$$

$\phi_0 = \phi(\infty)$, M — масса кротовой норы
1961 Brans, Dicke, Phys. Rev. **124** 925

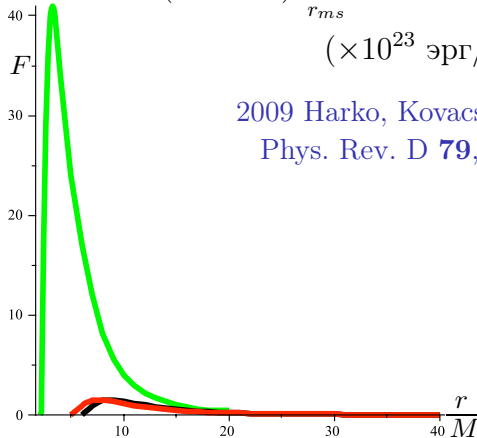
Проходимая кротовая нора $\rightarrow \omega < -2$
1995 Agnese, La Camera, Phys. Rev. D **51** 2011

По данным Кассини $\rightarrow |\omega| > 50000$
2003 Bertotti et al., Nature **425** 374

Поток энергии при аккреции

$$F(r) = - \frac{\dot{M}_0}{4\pi\sqrt{-g}} \frac{\Omega_{,r}}{(\tilde{E} - \Omega\tilde{L})^2} \int_{r_{ms}}^r (\tilde{E} - \Omega\tilde{L}) \tilde{L}_{,r} dr$$

($\times 10^{23}$ эрг/см²/с)



2009 Harko, Kovacs, Lobo,
Phys. Rev. D **79**, 064001

Д.И. Гареева

2011 Алексеев, Гареева, Ранну, ЖЭТФ **140** 722

Горловина и максимальный прицельный параметр

Горловина кротовой норы:

$$\left. \frac{\partial}{\partial \rho} (g_{\theta\theta}) \right|_{\rho=\rho_0} = 0$$

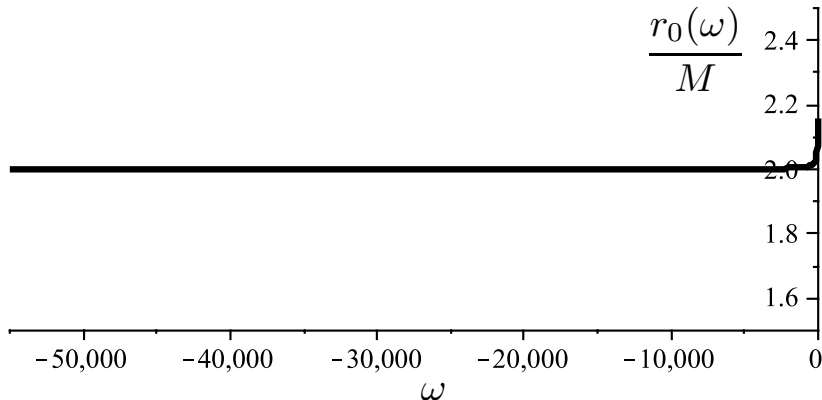
ρ_0 — изотропная радиальная координата горловины.

Максимальный прицельный параметр:

$$h_{max}^2 = \min \left(- \frac{g_{\theta\theta}}{g_{tt}} \right)$$

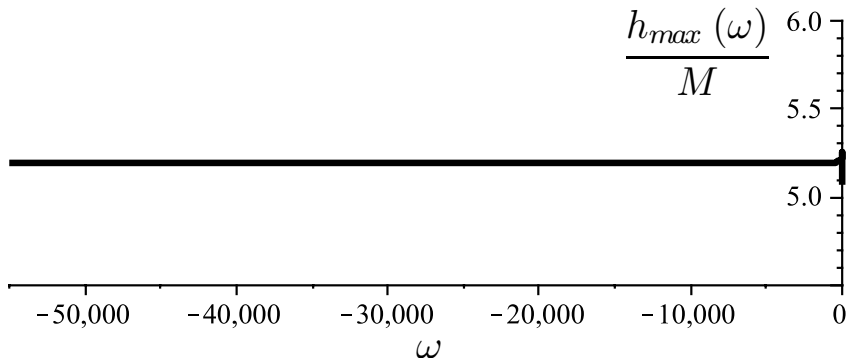
Радиус горловины кротовой норы

$$\rho_0 = \frac{\sqrt{2}B}{2} \left(\frac{2 |\omega + 1| \pm \sqrt{-8 - 6\omega}}{\sqrt{(2\omega + 3)(\omega + 2)}} \right) \approx 2M$$



Максимальный прицельный параметр

$$h_{\max} \approx 5.18M \approx 3\sqrt{3}M$$



Выводы к главе 4

- Найден радиус горловины кротовой норы Бранса-Дикке в произвольных координатах $r_0 = 2M$, что совпадает с гравитационным радиусом Шварцшильда для черной дыры такой же массы.
- Найден максимальный прицельный параметр кротовой норы Бранса-Дикке $h_{max} \approx 5.18M \approx 3\sqrt{3}M$ почти для всех допустимых значений ω максимальный, что совпадает с максимальным прицельным параметром для черной дыры Шварцшильда.

Показано, что для удаленного наблюдателя кротовые норы Бранса-Дикке являются асимптотически шварцшильдовскими, поэтому следует искать их по результатам наблюдений именно в этом качестве.

Положения, выносимые на защиту 1

На основании исследования постньютоновского разложения низко-энергетического эффективного предела струнной гравитации и решений модели Рандалл-Сандрума для больших черных дыр показано, что предсказания моделей с поправками по кривизне и дополнительным некомпактным измерением полностью согласуются с ОТО в пределах современных измерений в Солнечной системе. Для решения Фигураса-Вайсмана в модели Рандалл-Сандрума II с одной браной продемонстрирована возможность слабого эффекта отрицательной нелинейности суперпозиции для гравитации. Для решения Гаусса-Бонне в рамках эффективного предела струнной гравитации и решения Абдолрахими-Пейджа в модели Рандалл-Сандрума II показано полное соответствие общей теории относительности до третьего постньютоновского порядка. Вывод для струнной гравитации обобщен на модели $f(R)$ с ньютоновским пределом.

Положения, выносимые на защиту 2

Найдены изотропическая радиальная координата горловины и максимальный прицельный параметр для кротовой норы Бранса-Дикке. Показано, что эти величины совпадают с аналогичными величинами для черной дыры Шварцшильда.

На основании этих результатов сделан вывод, что кротовая нора Бранса-Дикке может рассматриваться

как «квазишварцшильдовский» компактный объект и играет роль базового решения в расширенной гравитации. Также сделан вывод, что результаты наблюдений отклонения света при прохождении через кротовую нору позволят отличить кротовую нору Бранса-Дикке от кротовых нор в других моделях гравитации.

Положения, выносимые на защиту 3

На основании исследования поведения инварианта кривизны под горизонтом черной дыры Максвелла-Гаусса-Бонне установлено, что внутренний горизонт, возникающий при магнитном заряде, превышающем критическое значение, является сингулярным.

Показано, что при достижении магнитным зарядом своего критического значения, имеет место фазовый переход, в результате которого дополнительная ветвь решения, нефизичная при нулевом или малом заряде, реализуется и становится гладким продолжением основного решения до внутреннего горизонта. Также установлено, что сингулярность на внутреннем горизонте намного сильнее, чем внутренняя сингулярность в случае малого заряда. Таким образом, фазовый переход при критическом заряде изменяет внутреннюю структуру черной дыры Максвелла-Гаусса-Бонне, но не сказывается на природе данного компактного объекта.

Список публикаций 1

- S.O. Alexeyev, A. Barrau, K.A. Rannu, «*Internal structure of a Maxwell-Gauss-Bonnet black hole*» [Phys. Rev. D](#) **79** 067503 (2009)
- С.О. Алексеев, К.А. Ранну, Д.В. Гареева, «*Возможные наблюдательные проявления кротовых нор в теории Бранса-Дикке*», [ЖЭТФ](#) **140** 722 (2011)
- С.О. Алексеев, К.А. Ранну, «*Черные дыры Гаусса-Боннэ и возможности их экспериментального поиска*», [ЖЭТФ](#) **3** 463 (2012)
- K.A. Rannu, S.O. Alexeyev, A. Barrau, «*Study on internal structure of Maxwell-Gauss-Bonnet black hole*» [Journal of Physics: Conference Series](#) **229** 012061 (2010)
- K.A. Rannu, S.O. Alexeyev, A. Barrau, «*Internal structure of a Maxwell-Gauss-Bonnet black hole*», [Труды международной конференции «QUARKS-2010»](#) **1** 143 (2010)
- K.A. Rannu, S.O. Alexeyev, A. Barrau, «*Internal structure of a Maxwell-Gauss-Bonnet black hole*» [Proceedings of Science QFTHEP2010](#) 079 (2010)

Список публикаций 2

- К.А. Ранну, S.O. Alexeyev, D.V. Gareeva, «*Brans-Dicke wormholes: possibility for observations and distinction*», *AIP Conf. Proc.* **1458** 515 (2012)
- К.А. Ранну, П.И. Дядина, «*Экспериментальные проверки расширенных теорий гравитации*», *Ученые записки физического факультета* **4** 134801 (2013)
- P.I. Dyadina, K.A. Rannu, S.O. Alexeyev, «*Post-newtonian limits for Lovelock gravity with scalar field*», *Труды международной конференции «Black and Dark Topics in Modern Cosmology and Astrophysics»* **23** (2013)
- К.А. Ранну, S.O. Alexeyev, P.I. Dyadina, «*Post-newtonian limits for brane-world model*», *Труды международной конференции «Black and Dark Topics in Modern Cosmology and Astrophysics»* **34** (2013)

Список апробаций

- «Frontiers in Black Hole Physics», Дубна, май 2009
- «Spanish Relativity Meeting (ERE 2009)», Бильбао, сентябрь 2009
- «QUARKS-2010», Коломна, июнь 2010
- «QFTNER2010», Голицыно, сентябрь 2010
- «40-ая студенческая научная конференция Физика Космоса», Коуровка, февраль 2011
- «Black Holes VIII. Theory & Mathematical aspects», Ниагара, май 2011
- «Spanish Relativity Meeting (ERE 2011)», Мадрид, август 2011
- «Ломоносовские чтения», Москва, ноябрь 2011
- «QUARKS-2012», Ярославль, июнь 2012
- «ЛОМОНОСОВ», Москва, апрель 2013
- «Black and Dark Topics in Modern Cosmology and Astrophysics», Дубна, сентябрь 2013

Спасибо
за внимание

АСИМПТОТИКИ

- Асимптотика на горизонте событий $((r - r_h) \ll 1)$:

$$\Delta = d_1(r - r_h) + d_2(r - r_h)^2 + O((r - r_h)^2)$$

$$f = f_0 + f_1(r - r_h) + f_2(r - r_h)^2 + O((r - r_h)^2)$$

$$E = E_0 + \phi_1(r - r_h) + \phi_2(r - r_h)^2 + O((r - r_h)^2)$$

1997 Alexeyev, Pomazanov, Phys. Rev. D **55**, 2110

- Асимптотика на бесконечности — решение GM-GHS:

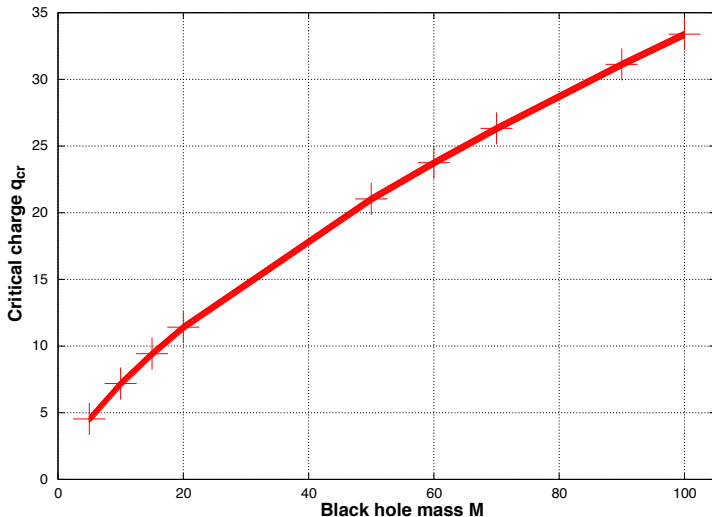
$$ds^2 = \left(1 - \frac{2M}{r}\right) dt^2 - \left(1 - \frac{2M}{r}\right)^{-1} dr^2 - r \left(r - \frac{q^2 E_0}{M}\right) d\Omega$$

$$E = E_0 - \frac{q^2}{Mr}$$

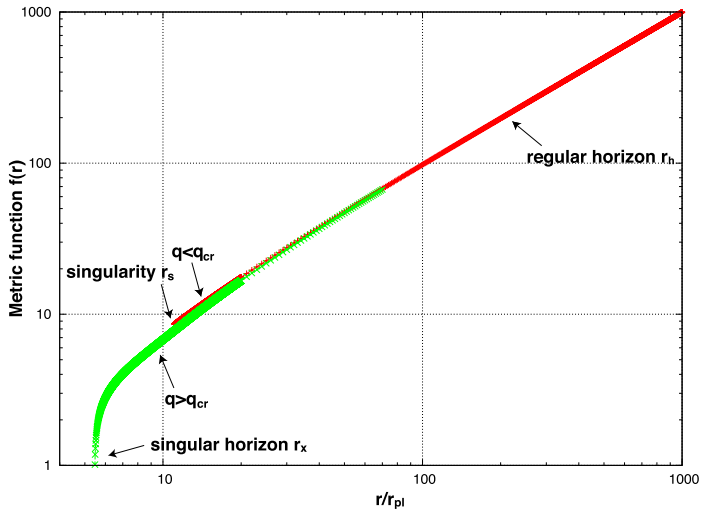
1988 Gibbons, Maeda, Nucl. Phys. B **298**, 741

1991 Garfinkle, Horowitz, Strominger, Phys. Rev. D **43**, 3140

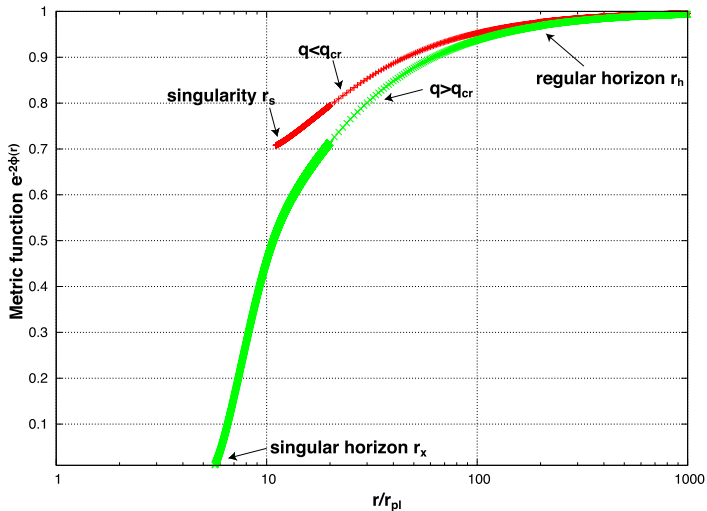
Зависимость критического заряда от массы черной дыры



Метрическая функция $f(r)$



Дилатонная экспонента $\exp(-2\phi(r))$



Постньютоновское разложение метрики

$$\begin{aligned}g_{00} = & -1 + 2U - 2\beta U^2 - 2\xi\Phi_W + (2\gamma + 2 + \alpha_3 + \varsigma_1 - 2\xi)\Phi_1 + \\ & + 2(3\gamma - 2\beta + 1 + \varsigma_2 + \xi)\Phi_2 + 2(1 + \varsigma_3)\Phi_3 + \\ & + 2(3\gamma + 3\varsigma_4 - 2\xi)\Phi_4 - (\varsigma_1 - 2\xi)\mathcal{A} - (\alpha_1 - \alpha_2 - \alpha_3)w^2U + \\ & + \alpha_2 w^i w^j U_{ij} + (2\alpha_3 - \alpha_1)w^i V_i,\end{aligned}$$

$$\begin{aligned}g_{0i} = & -\frac{1}{2}(4\gamma + 3 + \alpha_1 - \alpha_2 + \varsigma_1 - 2\xi)V_i - \\ & -\frac{1}{2}(1 + \alpha_2 - \varsigma_1 + 2\xi)W_i - \frac{1}{2}(\alpha_1 - 2\alpha_2)w^i U - \alpha_2 w^i U_{ij},\end{aligned}$$

$$g_{ij} = (1 + 2\gamma U)\delta_{ij}.$$

1981 Уилл «Теория и эксперимент в гравитационной физике»

Постньютоновское разложение тензора энергии-импульса

$$T^{00} = \rho (1 + \Pi + v^2 + 2U)$$

$$T^{0i} = \rho \left(1 + \Pi + v^2 + 2U + \frac{p}{\rho} \right) v^i$$

$$T^{ij} = \rho \left(1 + \Pi + v^2 + 2U + \frac{p}{\rho} \right) v^i v^j + p \delta^{ij} (1 - 2\gamma U)$$

Экспериментальные значения 1

ППН-параметр	Физический смысл	Экспериментальное значение
$\gamma - 1$	кривизна, создаваемая единицей массы покоя	2.3×10^{-5}
$\beta - 1$	степень нелинейности закона суперпозиции для гравитации	1.1×10^{-4}
ξ	наличие эффектов привилегированного положения	1×10^{-3}

Экспериментальные значения 2

ППН- параметр	Физический смысл	Экспериментальное значение
α_1	наличие	1×10^{-4}
α_2	привилегированной системы отсчета	4×10^{-7}
α_3		4×10^{-20}
ζ_1	нарушение закона	2×10^{-2}
ζ_2	сохранения энергии, полного импульса и углового момента	4×10^{-5}
ζ_3		1×10^{-8}
ζ_4		6×10^{-3}

Уравнения поля Гаусса-Бонне

$$G_{\mu\nu} = 8\pi (T_{\mu\nu}^m + T_{\mu\nu}^\phi + T_{\mu\nu}^{GB}),$$

$$T_{\mu\nu}^\phi = \frac{1}{8\pi} \left(\partial_\mu \phi \partial_\nu \phi - \frac{1}{2} g_{\mu\nu} \partial^\rho \phi \partial_\rho \phi \right),$$

$$\begin{aligned} T_{\mu\nu}^{GB} = & \frac{1}{16\pi} \left[2 (\nabla_\mu \nabla_\nu e^{-2\phi}) R - 2 g_{\mu\nu} (\square e^{-2\phi}) R \right. \\ & - 4 (\nabla^\rho \nabla_\mu e^{-2\phi}) R_{\nu\rho} - 4 (\nabla^\rho \nabla_\nu e^{-2\phi}) R_{\mu\rho} \\ & + 4 (\square e^{-2\phi}) R_{\mu\nu} + 4 g_{\mu\nu} (\nabla^\rho \nabla^\sigma e^{-2\phi}) R_{\rho\sigma} \\ & \left. - 4 (\nabla^\rho \nabla^\sigma e^{-2\phi}) R_{\mu\rho\nu\sigma} \right], \end{aligned}$$

2007 Sotiriou, Barausse, Phys. Rev. D **75**, 084007

AdS₅/CFT₄ разложение Феффермана-Грэхема

$$\langle T_{\mu\nu}^{CFT} \rangle = \frac{1}{4\pi G_5} \left\{ -\frac{1}{4} (g^{(2)})_{\mu\nu}^2 + \frac{1}{4} g_{\mu\nu}^{(2)} \text{Tr} g^{(2)} - \right. \\ \left. - \frac{1}{8} g_{\mu\nu}^{(0)} [(\text{Tr} g^{(2)})^2 - \text{Tr}(g^{(2)})^2] \right\},$$

$$g_{\mu\nu}^{(0)} = g_{\mu\nu} + \frac{\epsilon^2}{2} \left(R_{\mu\nu} - \frac{1}{6} g_{\mu\nu} R \right) + O(\epsilon^4 \log \epsilon),$$

$$g_{\mu\nu}^{(2)} = \frac{1}{d-2} \left(R_{\mu\nu} - \frac{1}{2(d-1)} R g_{\mu\nu}^{(0)} \right)$$

2001 Haro, Skenderis, Solodukhin, Commun. Math. Phys. **217**, 595

Уравнения поля Саски-Широмизу-Маэды

$$G_{\mu\nu} = -\Lambda_4 g_{\mu\nu} + 8\pi G_N T_{\mu\nu} + \kappa_5^4 \pi_{\mu\nu} - E_{\mu\nu},$$

$$\pi_{\mu\nu} = -\frac{1}{4} T_{\mu\alpha} T_\nu^\alpha + \frac{1}{12} T T_{\mu\nu} + \frac{1}{8} g_{\mu\nu} T_{\alpha\beta} T^{\alpha\beta} - \frac{1}{24} g_{\mu\nu} T^2,$$

$$\Lambda_4 = \frac{1}{2} \kappa_5^2 \left(\Lambda_5 + \frac{1}{6} \kappa_5^2 \lambda^2 \right),$$

$$G_N = \frac{\kappa_5^4 \lambda}{48\pi}, \quad \kappa_5^2 = 8\pi G_5,$$

$$E_{\mu\nu} = \tilde{C}_{\mu\alpha\nu\beta} n^\alpha n^\beta$$

Решение Бранса-Дикке. I тип

$$ds^2 = - e^{\alpha_0} \left(\frac{1 - \frac{B}{\rho}}{1 + \frac{B}{\rho}} \right)^{\frac{2}{\lambda}} dt^2 +$$
$$+ e^{\beta_0} \left(1 + \frac{B}{\rho} \right)^4 \left(\frac{1 - \frac{B}{\rho}}{1 + \frac{B}{\rho}} \right)^{\frac{\lambda - C - 1}{\lambda}} (d\rho^2 + \rho^2 d\Omega^2)$$
$$\varphi = \varphi_0 \left(\frac{1 - B/\rho}{1 + B/\rho} \right)^{C/\lambda}, \quad \lambda^2 = (C + 1)^2 - C(1 - \omega C)$$

ρ — изотропная радиальная координата

φ — потенциал поля дилатона

φ_0 — величина потенциала поля дилатона на бесконечности

ω — параметр Бранса-Дикке

$\alpha_0, \beta_0, \lambda, B, C$ — константы

Решение Бранса-Дикке. II тип

$$ds^2 = - \exp \left[\alpha_0 + \frac{4}{\Lambda} \tan^{-1} \left(\frac{\rho'}{B'} \right) \right] dt^2 + \\ + \exp \left[\zeta_0 - \frac{4(C+1)}{\Lambda} \tan^{-1} \left(\frac{\rho'}{B'} \right) - 2 \ln \left(\frac{\rho'^2}{\rho'^2 + B'^2} \right) \right] \times \\ \times (d\rho'^2 + \rho'^2 d\Omega^2)$$

$$\varphi = \varphi_0 \exp \left[\frac{2C}{\Lambda} \tan^{-1} \left(\frac{\rho'}{B'} \right) \right], \quad \Lambda^2 = C \left(1 - \frac{\omega C}{2} \right) - (C+1)^2$$

ρ' — изотропная радиальная координата

φ — потенциал поля дилатона

φ_0 — величина потенциала поля дилатона на бесконечности

ω — параметр Бранса-Дикке

$\alpha_0, \zeta_0, \Lambda, B', C$ — константы

Решение Бранса-Дикке. III тип

$$ds^2 = - \exp \left[\alpha_0 - \frac{2\rho}{B} \right] dt^2$$
$$+ \exp \left[\beta_0 - 4 \ln \left(\frac{\rho}{B} \right) + \frac{2(C+1)\rho}{B} \right] (d\rho^2 + \rho^2 d\Omega^2)$$
$$\varphi = \varphi_0 \exp \left[\frac{C}{B} \rho \right], \quad C = \frac{-1 \pm \sqrt{-2\omega - 3}}{\omega + 2}$$

ρ — изотропная радиальная координата

φ — потенциал поля дилатона

φ_0 — величина потенциала поля дилатона на бесконечности

ω — параметр Бранса-Дикке

α_0, β_0, B, C — константы

Решение Бранса-Дикке. IV тип

$$ds^2 = - \exp \left[\alpha_0 - \frac{2}{B\rho} \right] dt^2 + \\ + \exp \left[\beta_0 + \frac{2(C+1)}{B\rho} \right] (d\rho^2 + \rho^2 d\Omega^2) \\ \varphi = \varphi_0 \exp \left[\frac{C}{B\rho} \right], \quad C = \frac{-1 \pm \sqrt{-2\omega - 3}}{\omega + 2}$$

ρ — изотропная радиальная координата

φ — потенциал поля дилатона

φ_0 — величина потенциала поля дилатона на бесконечности

ω — параметр Бранса-Дикке

α_0, β_0, B, C — константы

Решение Бранса-Дикке

Не все решения Бранса-Дикке линейно независимы.

Тип II можно привести к типу I, выполнив замену:

$$\lambda = -i\Lambda, \quad B = i/B$$

Тип III можно привести к типу IV, выполнив замену:

$$\rho \equiv 1/\rho$$

(Бхадра, Саркар, Лобо, *Gen.Rel.Grav.* **D 37**, 2189 (2005))

Асимптотика на бесконечности

Параметр Бранса-Дикке $\omega \rightarrow \pm \infty$

→ изотропная метрика Шварцшильда:

$$ds^2 = \left(\frac{1 - \frac{r_g}{4\rho}}{1 + \frac{r_g}{4\rho}} \right)^2 dt^2 - \left(1 - \frac{r_g}{4\rho} \right)^4 (d\rho^2 + \rho^2 d\Omega^2)$$

$\omega \rightarrow +\infty \rightarrow$ черная дыра

$\omega \rightarrow -\infty \rightarrow$ кротовая нора

$\lambda \rightarrow 1, \quad C \rightarrow 0, \quad B \rightarrow M/2$

Модель аккреционного диска

Простейшая модель для стационарной дисковой аккреции в случае тонкого диска:

- гидродинамическое равновесие;
- градиент давления и вертикальный градиент энтропии пренебрежимо малы;
- диск излучает как черное тело;
- скорость аккреции \dot{M}_0 постоянна и не меняется со временем;
- все физические величины, описывающие вращающуюся плазму, усредняются по характерному времени, азимутальному углу и высоте;
- на высоких орбитах частицы движутся по законам Кеплера.

1973 Shakura, Sunyaev, *Astron. Astrophys.* **24** 337